

## ДВУХКРИТЕРИАЛЬНЫЙ ЛЕКСИКОГРАФИЧЕСКИЙ АЛГОРИТМ ПОСТРОЕНИЯ ВСЕХ КРАТЧАЙШИХ ПУТЕЙ В СЕТИ

**Аннотация.** Рассматривается алгоритм построения кратчайших путей между всеми парами узлов в неориентированной сети по критерию: минимум дуг в пути; минимум длины пути. Проведен анализ трудоемкости алгоритма и эмпирически показано, что по мере увеличения плотности сети его вычислительная эффективность становится выше, чем у алгоритма Флойда, соответствующим образом модифицированного для нахождения кратчайших путей по ступенчатому критерию.

**Ключевые слова:** многокритериальные задачи построения кратчайших путей, алгоритмы, вычислительная трудоемкость.

### ВВЕДЕНИЕ

Во многих теоретических и прикладных задачах оптимизации на графах, таких, например, как проектирование транспортных, информационных и телекоммуникационных сетей, требуется построение кратчайших путей (КП). В большей части публикаций, посвященных вопросам нахождения КП, рассматриваются задачи построения КП по одному критерию — минимум или максимум суммы длин дуг в пути. Под длиной дуги понимается некоторый ее параметр, например расстояние по дуге, затраты при перевозке по дуге, пропускная способность дуги и т.п.

Наряду с задачами построения КП по одному критерию значительный интерес представляют многокритериальные задачи о путях (МКП), естественным образом возникающие во многих приложениях, когда имеется несколько различных параметров, характеризующих узлы и дуги сети. В большинстве случаев выбор оптимальных кратчайших путей по экстремальным значениям этих параметров представляет сложную задачу, поскольку параметры могут быть противоречивыми и конкурировать между собой. Концепция оптимизации МКП задачи в целом, в отличие от задачи оптимизации путей по одному критерию, заключается в необходимости нахождения некоторого оптимального решения по всем заданным критериям. В этом случае, как правило, существует не одно, а множество парето-оптимальных решений задачи, удовлетворяющих всем критериям.

Поскольку обзор современных многокритериальных алгоритмов представляет отдельную тему, выходящую за рамки настоящей статьи, отметим лишь, что они исследовались менее досконально, например работа Хансена [1], опубликованная в 1979 г. и посвященная систематическому исследованию двухкритериальных задач о путях. Хансен [1] и независимо Варбартон [2] разработали полностью полиномиальную схему решения МКП задачи (fully polynomial time approximation schemes — FPTAS) для парето-оптимальных решений в случае двух критериев. Двухкритериальные задачи также были достаточно исследованы в [3]. После этих публикаций появилось достаточно много работ, связанных с многокритериальными задачами о КП, в которых исследовались вопросы разработки эффективных алгоритмов нахождения парето-оптимальных путей по нескольким конкурирующим между собой критериям. Для случаев, когда число критериев оптимизации больше двух, пока не достигнуто особых результатов. Судя по литературным источникам и публикациям в Интернете, особых продвижений в решении МКП задач с использованием FPTAS-схем пока не наблюдается.

В настоящей статье рассматриваются алгоритмы построения КП, упорядоченных в лексикографическом порядке по двум критериям. Известно, что такие алгоритмы имеют полиномиальную трудоемкость в отличие от алгоритмов нахождения парето-оптимальных кратчайших путей. Некоторые алгоритмы построения ступенчатых двухкритериальных путей рассматривались в работах [4, 5]. Идея алгоритма, предложенного в [4], близка к идее алгоритма Мура [6] и отличается особенностью реализации процедуры расстановки «пометок» с помощью логических операций над строками матриц, характеризующих сеть. Как показано в [7], асимптотическая трудоемкость алгоритмов такого типа составляет  $O(n^3)$ , где  $n$  — число узлов в сети. В работе [5] изложен алгоритм, строящий деревья кратчайших путей по двухступенчатому критерию: минимум ранга пути, при равенстве рангов — максимум пропускной способности (под рангом пути понимается число транзитных узлов или дуг в пути). Суть алгоритма заключается в следующем: от некоторого узла  $i$  необходимо построить дерево КП до всех остальных узлов. Поскольку пути с рангом 1 уже построены, на первой итерации алгоритма строятся пути с рангом 2. На каждой последующей итерации строятся пути с рангом, большим на единицу предшествующего ранга. Итерация включает два вложенных цикла по числу узлов в сети, поэтому асимптотическая трудоемкость итерации составляет  $O(n^2)$ . Для построения дерева КП от узла  $i$  требуется  $O((q_i - 1)n^2)$  действий, где  $q_i$  — максимальный ранг КП, построенного от узла  $i$ . Нахождение деревьев КП от всех узлов потребует сложности порядка  $O((q_{\max} - 1)n^3)$  в предположении, что для всех узлов имеем  $q_i = q_{\max}$ .

Следует особо отметить, что для построения путей по ступенчатому критерию легко модифицировать любой известный алгоритм построения КП по одному критерию, например алгоритм Флойда [8] или Дейкстры [9]. Как известно, эти алгоритмы имеют асимптотическую трудоемкость порядка  $O(n^3)$  для построения КП от всех узлов.

Как правило, при решении большинства практических задач нахождения КП по двум критериям наибольший интерес представляют алгоритмы, использующие в качестве критериев оптимизации минимум транзитных узлов или дуг в пути (ранг пути) и минимум длины пути. В связи с этим в настоящей работе рекомендуется улучшенная версия двухкритериального алгоритма построения всех КП в сети по указанным критериям, предложенного в работе [10]. Поскольку в настоящей статье рассматривается построение КП от всех узлов в сети, трудоемкость предложенного алгоритма будет сравниваться с трудоемкостью измененного по таким же критериям алгоритма Флойда. Следует отметить, что приведенные алгоритмы могут быть легко обобщены и на случай наличия большего числа упорядоченных критериев оптимизации.

#### ПОСТАНОВКА ЗАДАЧИ И АЛГОРИТМ РЕШЕНИЯ

Пусть задана простая неориентированная сеть  $G(N, P)$  с множеством узлов  $N$ ,  $n = |N|$ , и множеством дуг  $P$ ,  $p = |P|$ . Каждой дуге  $p_{kl} \in P$  поставлено в соответствие некоторое число  $r_{kl} > 0$ , условно называемое ее длиной. Назовем число дуг, составляющих некоторый путь, рангом пути. Требуется построить КП между всеми узлами сети, удовлетворяющие критерию: минимум ранга пути, при равенстве рангов — минимум длины.

Идея предлагаемого алгоритма сходна с идеей алгоритма Беллмана–Шимбелла [11, 12], согласно которой на каждой условной  $l$ -й итерации строятся все КП в сети с рангом до  $2^l$  включительно. При этом на каждой последующей итерации

используются все пути, построенные на предыдущих, и применяется эффективная техника представления абстрактных типов данных (АТД).

Пусть  $R = \| r_{ij} \|_{n \times n}$  — топологическая матрица;  $r_{ij}$  — длина дуги  $p_{ij}$  (если дуги  $p_{ij}$  не существует,  $r_{ij} = \infty$ );  $D = \| d_{ij} \|_{n \times n}$  — матрица длин построенных путей;  $C = \| c_{ij} \|_{n \times n}$  — справочная матрица построенных путей, каждый элемент которой  $c_{ij}$ ,  $i \neq j$ , определяет номер предпоследнего узла на кратчайшем пути от  $i$  до  $j$ ,  $c_{ii} = 0$ ,  $i = 1, n$ ;  $Q = \| q_{ij} \|_{n \times n}$  — матрица рангов построенных путей. Первоначально  $D$  совпадает с  $R$ , а для путей с рангом 1 соответствующие элементы матриц  $q_{ij} = 1$ ,  $c_{ij} = i$ . Для ненайденных путей имеем  $q_{ij} = \infty$ ,  $c_{ij} = 0$ . Знаки  $\leftarrow$ ,  $\wedge$  и  $\vee$  соответственно означают операции присваивания, конъюнкции (логического «и») и дизъюнкции (логического «или»). Знаком \*\*\* отделяются комментарии.

Приведем алгоритм построения КП по ступенчатому критерию [10].

#### Алгоритм SP1

1.  $RMAX \leftarrow 1$ ;  $l \leftarrow 0$ .
2.  $KU \leftarrow 0$ ;  $l \leftarrow l+1$ .
3. Для  $\{i | i = 1, n\}$  выполнить пп. 4–16.
4.  $KS \leftarrow 0$ .
5. Для  $\{j | j = 1, n\}$  выполнить пп. 6–14.
6. Если  $(i \neq j) \wedge c_{ij} = 0$ , то перейти к п. 7; иначе выполнить  $KS \leftarrow KS + 1$  и перейти к п. 14.
7. Для  $\{k | k = 1, n\}$  выполнить пп. 8–12.
8. Если  $Q(i, k) \leq RMAX \wedge Q(k, j) \leq RMAX$ , то перейти к п. 9; иначе перейти к п. 12.
9.  $RT \leftarrow Q(i, k) + Q(k, j)$ .
10. Если  $RT < Q(i, j) \vee (RT = Q(i, j) \wedge D(i, j) > D(i, k) + D(k, j))$ , то перейти к п. 11; иначе перейти к п. 12.
11.  $D(i, j) \leftarrow D(i, k) + D(k, j)$ ;  $Q(i, j) \leftarrow RT$ ;  $C(i, j) \leftarrow C(k, j)$ .
12. Перейти к п. 7. \*\*\* Конец цикла по  $k$
13. Если  $C(i, j) \neq 0$ , то  $KS \leftarrow KS + 1$ .
14. Перейти к п. 5. \*\*\* Конец цикла по  $j$
15. Если  $KS = n$ , то  $KU \leftarrow KU + 1$ .
16. Перейти к п. 3. \*\*\* Конец цикла по  $i$
17.  $RMAX \leftarrow 2RMAX$ .
18. Если  $RMAX \leq (n-1) \wedge KU < n$ , то перейти к п. 2, иначе к п. 19.
19. Если  $RMAX > (n-1) \wedge KU < n$ , то вывести сообщение о несвязности сети.
20. Конец.

Приведем измененный алгоритм Флойда для построения КП по ступенчатому критерию.

#### Алгоритм Floyd

1. Для  $\{i | i = 1, n\}$  выполнить пп. 2–9.
2. Для  $\{j | j = 1, n\}$ , если  $i \neq j$ , выполнить пп. 3–8.
3. Для  $\{k | k = 1, n\}$ , если  $k \neq j \neq i$ , выполнить пп. 4–7.
4. Если  $Q(j, i) < \infty \wedge Q(i, k) < \infty$ , то перейти к п. 5; иначе перейти к п. 7.
5. Если  $(Q(j, k) > Q(j, i) + Q(i, k)) \vee (Q(j, k) = Q(j, i) + Q(i, k) \wedge D(j, k) > D(j, i) + D(i, k))$ , то перейти к п. 6; иначе перейти к п. 7.
6.  $Q(j, k) \leftarrow Q(j, i) + Q(i, k)$ ;  $D(j, k) \leftarrow D(j, i) + D(i, k)$ ;  $C(j, k) \leftarrow C(i, k)$ .
7. Перейти к п. 3.
8. Перейти к п. 2.

9. Перейти к п. 1.

10. Конец.

В алгоритме SP1 в строке 2 начинается цикл, представляющий условные итерации, общее число которых для построения всех путей в сети накапливается в  $l$ . Условная итерация содержит три вложенных цикла по индексам:  $i, j, k$ .

Предположим, что каждому номеру  $l, l=0, 1, 2, \dots$ , условной итерации алгоритма SP1 поставлено во взаимно-однозначное соответствие множество  $\{1+2^l, \dots, 2^{l+1}\}$  рангов путей. Назовем это соответствие таблицей рангов. Корректность алгоритма следует из доказанных в [10] следующих утверждений.

**Лемма.** Пусть в алгоритме SP1 на  $l$ -й итерации допускается построение путей с рангом, большим  $2^l$ , тогда кратчайшие пути будут построены некорректно.

**Доказательство.** В строке 8 алгоритма SP1 во внутреннем цикле по  $k$  возможно  $Q(i, k) < \infty$  и  $Q(k, j) < \infty$ . Пусть на некоторой  $l$ -й итерации построены пути  $(i, k_1), (i, k_2)$ , причем  $2^l < Q(i, k_2) = Q(i, k_1) + Q(k_1, k_2) < \infty$  и номер  $k_2$  больше номера  $k_1$ . Поскольку в цикле по  $k$  осуществляется перебор всех номеров узлов в возрастающем порядке, то найдется узел с номером  $k_3 > k_2 > k_1$  такой, что

$$\begin{aligned} Q(i, k_2) &= Q(i, k_3) + Q(k_3, k_2), \\ D(i, k_2) &= D(i, k_3) + D(k_3, k_2) < D(i, k_2) = D(i, k_1) + D(k_1, k_2). \end{aligned} \quad (1)$$

Однако к моменту определения пути до  $k_2$  имеем  $Q(i, k_3) = \infty$  или  $Q(k_3, k_2) = \infty$ , т.е. путь  $(i, k_3)$  или  $(k_3, k_2)$  еще не найден. На  $l$ -й итерации путь  $(i, k_2)$  получил отметку  $C(i, k_2) = k_1$  и на последующих итерациях рассматриваться не будет; в силу выполнения (1) этот путь некорректен.

**Теорема 1.** На каждой условной итерации алгоритма SP1 строятся все кратчайшие пути в сети, соответствующие таблице рангов.

**Доказательство.** Поскольку на каждой  $l$ -й итерации алгоритма нельзя строить пути с рангом, большим  $2^l$  (лемма), для построения путей на этой итерации используем только те пути, которые построены на  $(l-1)$ -й итерации. Фактически это гарантируется использованием в цикле по  $k$  в строке 8 следующих операций сравнения:  $Q(i, k) \leq RMAX, Q(k, j) \leq RMAX, RMAX = 2^l, l=0, 1, \dots$ , а первой условной итерации соответствует номер  $l=0$ . Очевидно, что на каждой  $l$ -й итерации алгоритма будут построены все пути в сети с рангами, строго соответствующими таблице рангов. Докажем, что построенные пути являются кратчайшими. Пусть на  $m$ -й итерации получен путь  $(i, j)$ , не удовлетворяющий критерию: минимум ранга, минимум длины. Значит, существует другой кратчайший путь, который проходит через узел  $u$ , причем либо  $Q(i, u)$ , либо  $Q(u, j)$  не определены. Поскольку на  $m$ -й итерации используются все пути, построенные на  $(m-1)$ -й итерации, во внутреннем цикле по  $k$  выполняется исчерпывающий поиск путей между  $i$  и  $j$  среди всех путей с множеством рангов  $\{1+2^m, \dots, 2^{m+1}\}$  по ступенчатому критерию:

$$t = \arg \min \{Q(i, k) + Q(k, j)\}, \quad k = 1, n, \quad k \neq u;$$

$$D(i, j) = \min \{D(i, v) + D(v, j)\}, \quad v \in t,$$

где  $t$  — множество узлов, через которые пути имеют одинаковый ранг. Следовательно, путь  $(i, j)$  через узел  $u$  мог быть построен только на последующих итерациях и имел бы больший ранг, что противоречит предположению о существовании другого кратчайшего пути. Теорема доказана.

**Следствие.** Для построения оптимального пути с рангом  $m$  ( $m \geq 2$ ) требуется  $\lceil \log_2 m \rceil$  условных итераций алгоритма SP1, где символ  $\lceil \cdot \rceil$  означает округление числа до большего целого.

Пусть  $S = \lceil \log_2 m \rceil$ , где  $m$  — максимальный ранг пути среди всех кратчайших путей, построенных в сети.

**Теорема 2.** Время, необходимое алгоритму SP1 для построения всех кратчайших путей в сети, возрастает пропорционально функции  $Sn^3 - n^2(3S + c) + 2n(S + c)$ , где  $c$  — некоторая константа.

Оценим трудоемкость алгоритма SP1. Обозначим  $h_{k,i}$  количество путей, построенных от узла  $i$  и имеющих ранг  $k$ . Тогда для построения всех кратчайших путей в сети число выходов алгоритма на внутренний цикл по  $k$  определится следующим образом:

$$\begin{aligned} & \sum_{i=1}^n n - (1 + h_{1,i}) + \sum_{i=1}^n (n - (1 + h_{1,i} + h_{2,i})) + \dots + \sum_{i=1}^n (n - (1 + h_{1,i} + h_{2,i} + h_{3,i} + \dots + h_{2^{(S-1)},i})) = \\ & = \sum_{i=1}^n (n - (1 + h_{1,i}) + n - (1 + h_{1,i} + h_{2,i}) + \dots + n - (1 + h_{1,i} + h_{2,i} + h_{3,i} + \dots + h_{2^{(S-1)},i})) = \\ & = \sum_{i=1}^n (nS - (S + h_{1,i}S + h_{2,i}(S-1) + h_{3,i}(S-2) + h_{4,i}(S-2) + \dots + h_{2^{(S-1)},i})) = \\ & = \sum_{i=1}^n \left[ (nS - S) - \sum_{l=0}^{S-1} (S-l) \sum_{k \in \{1+2^{(l-1)}, \dots, 2^l\}} h_{k,i} \right] = \\ & = Sn(n-1) - \sum_{i=1}^n \sum_{l=0}^{S-1} (S-l) \sum_{k \in \{1+2^{(l-1)}, \dots, 2^l\}} h_{k,i}, \end{aligned}$$

где символ  $\lfloor \cdot \rfloor$  означает округление числа до меньшего целого.

Число выполнений цикла по  $k$  зависит от структуры исходной сети, и с увеличением числа условных итераций алгоритма по  $l$  стремится к  $(n-2)$ . Поэтому дадим оценку сверху трудоемкости алгоритма в худшем случае:

$$T_{\text{тр}} = Sn(n-1)(n-2) - (n-2) \sum_{i=1}^n \sum_{l=0}^{S-1} (S-l) \sum_{k \in \{1+2^{(l-1)}, \dots, 2^l\}} h_{k,i}. \quad (2)$$

Обозначим  $\sum_{l=0}^{S-1} (S-l) \sum_{k \in \{1+2^{(l-1)}, \dots, 2^l\}} h_{k,i} = c$  в предположении, что  $h_{k,i} = h_k$

для всех  $i \in N$ , тогда (2) перепишем в виде

$$T_{\text{тр}} = Sn(n-1)(n-2) - (n-2) \sum_{i=1}^n c = Sn^3 - n^2(3S + c) + 2n(S + c). \quad (3)$$

Теорема доказана.

Поскольку асимптотическая трудоемкость алгоритма Флойда составляет всегда  $O(n^3)$ , можно предполагать, что при увеличении плотности графа или сети быстродействие алгоритма SP1 будет увеличиваться в отличие от быстродействия алгоритма Флойда.

Из анализа алгоритма SP1 видно, что его трудоемкость можно уменьшить за счет сокращения перебора узлов  $j$  в цикле в строке 5 при выборе узлов, пути к которым еще не найдены, и узлов  $k$  в цикле в строке 7 при выборе узлов, пути к которым уже найдены. Введем следующие структуры данных. Пусть  $A = \|a_{ij}\|_{n \times (n-1)}$  — матрица, содержащая номера узлов, пути к которым найдены. При этом в первой строке матрицы находятся номера узлов, к которым най-

дены пути от первого узла, во второй строке — от второго узла и т.д. Введем также вектор  $T = \|t_i\|_n$ , где накапливается число узлов, к которым найдены пути от узлов  $i, i = \overline{1, n}$ , а также вектор  $SP = \|sp_i\|_n$ , содержащий указатели  $sp_i$  от узлов  $i, i = \overline{1, n}$ , на линейные односторонние списки, состоящие из элементов  $E$ . Каждый элемент  $E$  состоит из двух полей:  $F$  и  $AJ$ . Поле  $AJ$  содержит номер узла, к которому путь не найден, а поле  $F$  содержит ссылку на следующий элемент. Последний элемент в списке, как и пустой список, имеет нулевые ссылки (*null*-ссылки).

Приведем улучшенную версию алгоритма SP1 построения КП по ступенчатому критерию.

### Алгоритм SP2

1.  $T \leftarrow 0$ .
2. Для  $\{i \mid i = \overline{1, n}\}$  выполнить пп. 3–12.
3. Для  $\{j \mid j = \overline{1, n}\}$ , если  $j \neq i$ , выполнить пп. 4–11.
4. Если  $D(i, j) < \infty$ , то перейти к п. 5, иначе перейти к п. 6.
5.  $T(i) \leftarrow T(i) + 1$ ;  $A(i, T(i)) \leftarrow j$ ; перейти к п. 11.
6. Образовать новый элемент  $E(P)$ .
7. Если  $SP(i).F \neq null$ , то выполнить п. 8, иначе выполнить п. 9.
8.  $P2 \Rightarrow P1$ ;  $P1 \Rightarrow P$ ;  $P2.F \Rightarrow P$ ; перейти к п. 10.
9.  $SP(i).F \Rightarrow P$ ;  $P1 \Rightarrow P$ ; перейти к п. 10.
10.  $P.AJ \leftarrow j$ .
11. Перейти к п. 3. \*\*\* Конец цикла по  $j$
12. Перейти к п. 2. \*\*\* Конец цикла по  $i$
13.  $RMAX \leftarrow 1$ ;  $l \leftarrow 0$ .
14.  $KU \leftarrow 0$ ;  $l \leftarrow l + 1$ .
15. Для  $\{i \mid i = \overline{1, n}\}$  выполнить пп. 16–31.
16. Если  $SP(i).F \neq null$ , то перейти п. 17, иначе  $KU \leftarrow KU + 1$ ; перейти к п. 31.
17.  $P \Rightarrow SP(i).F$ ;  $P1 \Rightarrow SP(i)$ .
18. Пока  $P.F \neq null$ , выполнить пп. 19–30.
19.  $j \leftarrow P.AJ$ .
20. Для  $\{m \mid m = \overline{1, T(i)}\}$  выполнить пп. 21–26.
21.  $k \leftarrow A(i, m)$ .
22. Если  $Q(i, k) \leq RMAX \wedge Q(k, j) \leq RMAX$ , то перейти к п. 23; иначе перейти к п. 26.
23.  $RT \leftarrow Q(i, k) + Q(k, j)$ .
24. Если  $RT < Q(i, j) \vee (RT = Q(i, j) \wedge D(i, j) > D(i, k) + D(k, j))$ , то перейти к п. 25; иначе перейти к п. 26.
25.  $D(i, j) \leftarrow D(i, k) + D(k, j)$ ;  $Q(i, j) \leftarrow RT$ ;  $C(i, j) \leftarrow C(k, j)$ .
26. Перейти к п. 20. \*\*\* Конец цикла по  $m$
27. Если  $C(i, j) \neq 0$ , то перейти к п. 28, иначе перейти к п. 29.
28.  $T(i) \leftarrow T(i) + 1$ ;  $A(i, T(i)) \leftarrow j$ ;  $P1.F \Rightarrow P.F$ ;  $P3 \Rightarrow P$ ;  $P \Rightarrow P.F$ ; Освободить элемент  $E(P3)$ . Перейти к п. 30.
29.  $P1 \Rightarrow P$ ;  $P \Rightarrow P.F$ . Перейти к п. 30.
30. Перейти к п. 18. \*\*\* Конец цикла по  $j$
31. Перейти к п. 15. \*\*\* Конец цикла по  $i$
32.  $RMAX \leftarrow 2RMAX$ .
33. Если  $RMAX \leq (n-1) \wedge KU < n$ , то перейти к п. 14, иначе к п. 34.
34. Если  $RMAX > (n-1) \wedge KU < n$ , то вывести сообщение о несвязности сети.
35. Конец.

В строках 1–12 выполняется формирование начальных значений для  $T$ ,  $A$ ,  $SP$ , а в строках 13–35 содержится основное тело алгоритма. Вектор  $SP$  используется во внешних циклах по  $i$  и  $j$  для выбора узлов  $j$ , к которым пути еще не найдены (строки 15–31 и 18–30). Матрица  $A$  и вектор  $T$  используются во внутреннем цикле по  $t$  для выбора номеров узлов  $k$ , к которым пути от  $i$  до  $k$  уже найдены (строки 20–26). Если на данной итерации найден КП от  $i$  до  $j$  через какой-либо узел  $k$ , то  $j$  вводится в соответствующую  $i$ -ю строку  $A$ , а из списка  $sp_i$   $j$ -й узел выводится. По окончании работы алгоритма списки  $sp_i$  становятся пустыми, а строки матрицы  $A$  будут полностью заполнены (в случае, если сеть связна).

Операция «Образовать новый элемент  $E(P)$ » в п. 6 означает образование элемента  $E$  и установку на него указателя  $P$ , а операция «Освободить элемент  $E(P3)$ » в п. 28 означает удаление элемента  $E$ , на который ссылается указатель  $P3$ . Операции со знаком  $\Rightarrow$  устанавливают указатель в левой части выражения на элемент в правой части выражения. Выражения с точками типа  $SP(i).F$ ,  $P.F$ ,  $P.AJ$  означают соответствующие поля элементов, на которые ссылаются указатели  $SP(i)$  и  $P$ . Если в строке 33 окажется, что  $RMAX > (n-1)$ , то при  $KU < n$  исходная сеть несвязна.

Для алгоритмов SP1, Floyd и SP2 были разработаны модифицированные алгоритмы SP1S, FloydS и SP2S для случая, когда матрица  $R$  является симметричной, так как свойство симметричности позволяет существенно сократить время нахождения КП.

Измененные строки для алгоритма SP1S:

3. Для  $\{i \mid i = \overline{1, n-1}\}$  выполнить пп. 4–16.
5. Для  $\{j \mid j = \overline{i+1, n}\}$  выполнить пп. 6–14.
6. Если  $c_{ij} = 0$ , то перейти к п. 7; иначе выполнить  $KS \leftarrow KS + 1$  и перейти к п. 14.
11.  $D(i, j) \leftarrow D(i, k) + D(k, j)$ ;  $D(j, i) \leftarrow D(i, j)$ ;  $Q(i, j) \leftarrow RT$ ;  $Q(j, i) \leftarrow RT$ ;  $C(i, j) \leftarrow C(k, j)$ ;  $C(j, i) \leftarrow C(k, i)$ .
15. Если  $KS = n - i$ , то  $KU \leftarrow KU + 1$ .
18. Если  $RMAX \leq (n-1) \wedge KU < (n-1)$ , то перейти к п. 2, иначе к п. 19.
19. Если  $RMAX > (n-1) \wedge KU < (n-1)$ , то вывести сообщение о несвязности сети.

Измененные строки для алгоритма FloydS:

2. Для  $\{j \mid j = \overline{1, n-1}\}$ , если  $i \neq j$ , выполнить пп. 3–8.
3. Для  $\{k \mid k = \overline{j+1, n}\}$ , если  $k \neq j \neq i$ , выполнить пп. 4–7.
6.  $Q(j, k) \leftarrow Q(j, i) + Q(i, k)$ ;  $Q(k, j) \leftarrow Q(j, k)$ ;  $D(j, k) \leftarrow D(j, i) + D(i, k)$ ;  $D(k, j) \leftarrow D(j, k)$ ;  $C(j, k) \leftarrow C(i, k)$ ;  $C(k, j) \leftarrow C(i, j)$ .

Измененные строки для алгоритма SP2S:

4. Если  $D(i, j) < \infty$ , то перейти к п. 5, иначе перейти к п. 5а.
- 5а. Если  $i < j$ , то перейти к п. 6, иначе к п. 11.
15. Для  $\{i \mid i = \overline{1, n-1}\}$  выполнить пп. 16–31.
25.  $D(i, j) \leftarrow D(i, k) + D(k, j)$ ;  $D(j, i) \leftarrow D(i, j)$ ;  $Q(i, j) \leftarrow RT$ ;  $Q(j, i) \leftarrow RT$ ;  $C(i, j) \leftarrow C(k, j)$ ;  $C(j, i) \leftarrow C(k, i)$ .
28.  $T(i) \leftarrow T(i) + 1$ ;  $T(j) \leftarrow T(j) + 1$ ;  $A(i, T(i)) \leftarrow j$ ;  $A(j, T(j)) \leftarrow i$ ;  $PLF \Rightarrow P.F$ ;  $P3 \Rightarrow P$ ;  $P \Rightarrow P.F$ ; Освободить элемент  $E(P3)$ . Перейти к п. 30.
33. Если  $RMAX \leq (n-1) \wedge KU < (n-1)$ , то перейти к п. 14, иначе к п. 34.
34. Если  $RMAX > (n-1) \wedge KU < (n-1)$ , то вывести сообщение о несвязности сети.

## ЭКСПЕРИМЕНТАЛЬНОЕ ИССЛЕДОВАНИЕ АЛГОРИТМОВ

Для проведения эксперимента была составлена тестовая программа на языке Digital Visual Fortran (DVF) компании Digital Equipment Corporation в среде Microsoft (MS) Developer Visual Studio (VS) DVF 6.1. Во внешней программе в режиме диалога вводились:  $n$  — число узлов сети;  $val$  — число исходящих из каждого узла дуг (степень узла); границы изменения значений весов дуг от  $MINVAL$  до  $MAXVAL$ ; параметр, управляющий выводом входных и выходных данных. Далее с помощью датчика случайных чисел (встроенной функции языка  $RAND()$ ) генерировались веса дуг от  $MINVAL$  до  $MAXVAL$ , формировались массивы  $R, D, Q, C$ , а также массивы  $A, T, SP$  (для алгоритмов SP2, SP2S). Вся оперативная память, необходимая для работы алгоритмов, выделялась и освобождалась динамически во внешней программе. Время работы алгоритмов фиксировалось встроенной подпрограммой  $cputime()$  непосредственно до входа и после выхода из алгоритмов построения КП. Работа алгоритмов проверялась на ПЭВМ IP-IV с тактовой частотой 2,66 ГГц и оперативной памятью 2 Гб под управлением операционной системы Windows Vista. Отдельно проводилось моделирование решения задачи на разреженных сетях с числом узлов  $n=1000$  при изменении значений параметра  $val$  от 2 до 999; при изменении  $n$  от 100 до 1000 при  $val=5$ ; на сильно разреженных сетях при  $val=2$  и изменении  $n$  от 500 до 1000. Во всех случаях принималось  $MINVAL=30, MAXVAL=120$ . Все алгоритмы были оформлены в виде внешних подпрограмм с передачей фактических параметров.

На рис. 1 приведены соответственно графики изменения времени работы алгоритмов SP1, Floyd, SP2 и SP1S, FloydS, SP2S в зависимости от роста степени узлов  $val$  от 2 до 999 для  $n=1000$ .

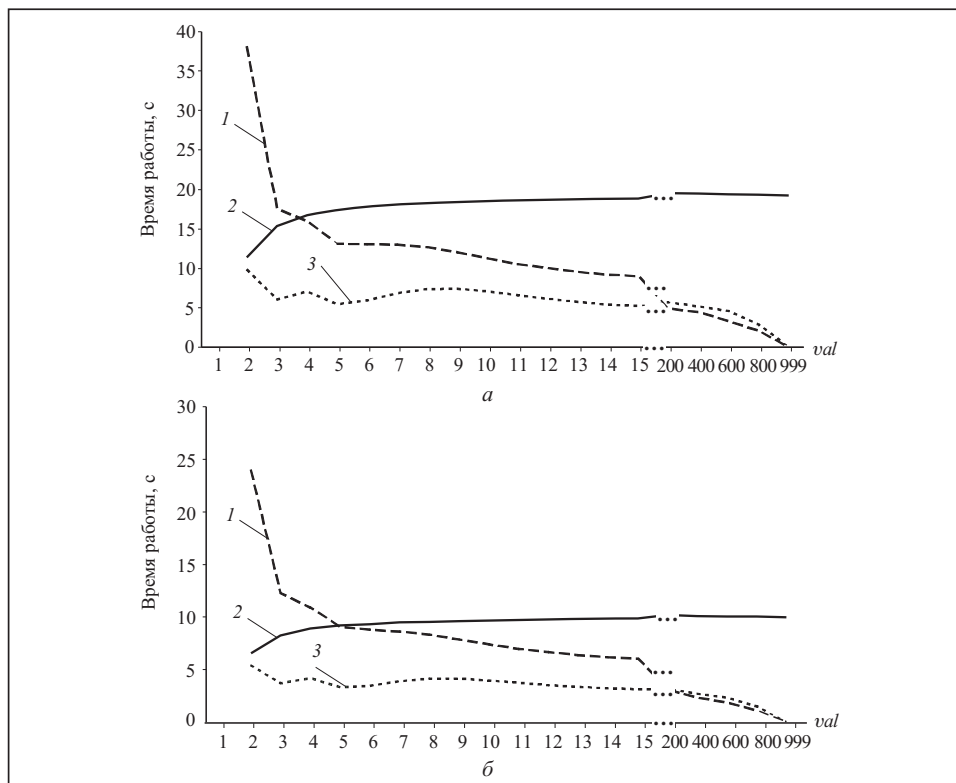


Рис. 1. График изменения времени работы алгоритмов: SP1 (1), Floyd (2), SP2 (3) (а); SP1S (1), FloydS (2), SP2S (3) (б) в зависимости от степени узлов



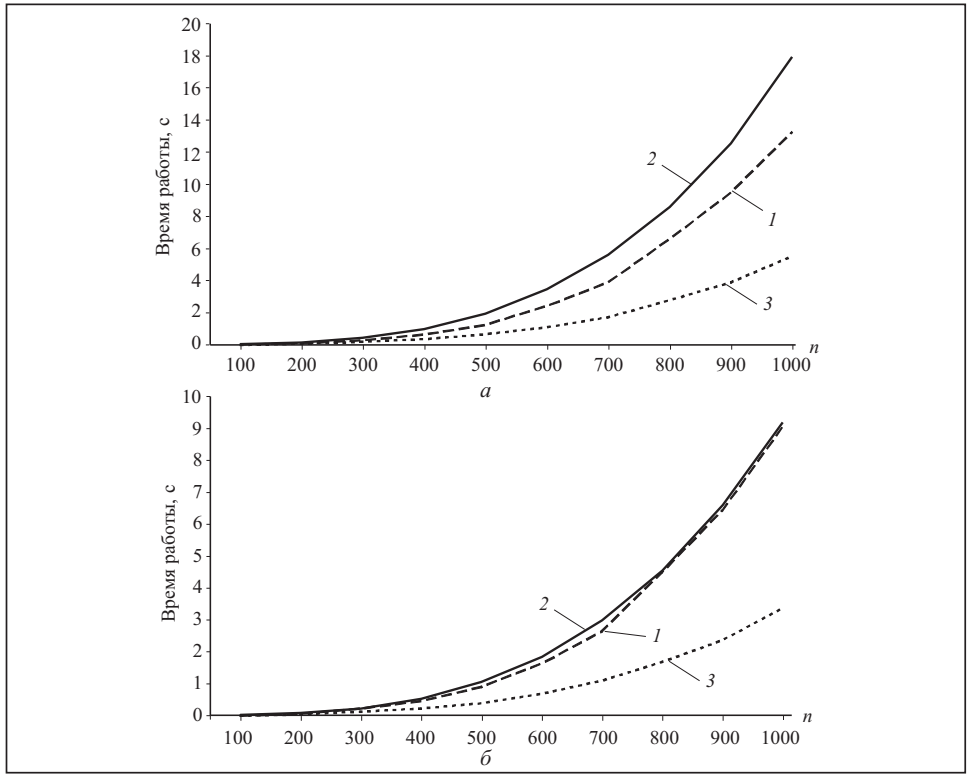


Рис. 2. График изменения времени работы алгоритмов SP1 (1), Floyd (2), SP2 (3) (а) и SP1S (1), FloydS (2), SP2S (3) (б) в зависимости от роста числа узлов при  $val = 5$

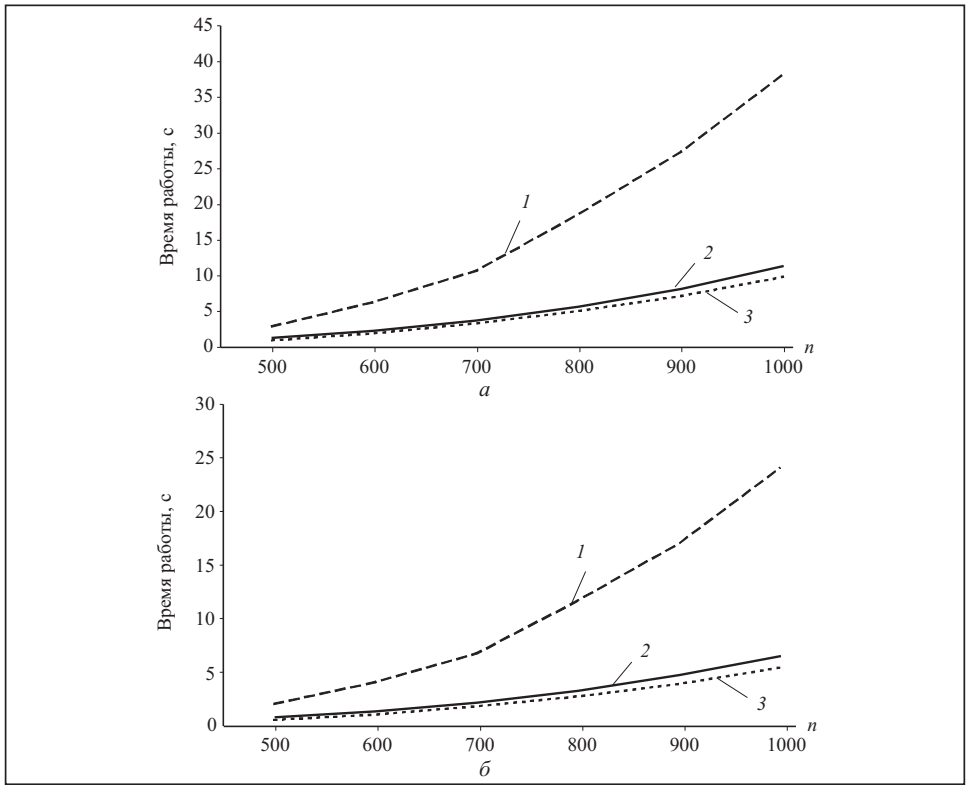


Рис. 3. График изменения времени работы алгоритмов SP1 (1), Floyd (2), SP2 (3) (а) и SP1S (1), FloydS (2), SP2S (3) (б) в зависимости от роста числа узлов при  $val = 2$

Из графиков на рис. 1 видно, что у алгоритмов SP1 и SP1S вычислительная эффективность лучше, чем у алгоритмов Floyd и FloydS уже при степени узлов  $val = 5$ , а алгоритмы SP2 и SP2S с ростом степени узлов значительно опережают алгоритмы Floyd и FloydS. Для больших значений параметра  $val$  (от 200 до 999) алгоритмы SP1, SP1S оказываются лучше, чем SP2, SP2S. Алгоритмы SP2, SP2S всегда лучше алгоритмов Флойда и с ростом степени узлов быстрее последних в несколько раз.

Графики изменения времени работы алгоритмов SP1, Floyd, SP2 и SP1S, FloydS, SP2S в зависимости от роста числа узлов от 100 до 1000 при  $val = 5$  приведены на рис. 2, а при росте числа узлов от 500 до 1000 при  $val = 2$  представлены на рис. 3. Для сетей с умеренной разреженностью при росте числа узлов в сети алгоритмы SP1, SP2 и SP1S, SP2S лучше, чем Floyd и FloydS. Для сильно разреженных сетей алгоритмы Floyd и FloydS с ростом числа узлов быстрее алгоритмов SP1 и SP1S, однако хуже, чем алгоритмы SP2 и SP2S.

#### ЗАКЛЮЧЕНИЕ

Рассмотрена улучшенная версия алгоритма [10] построения всех КП в сети по критериям: минимум дуг в пути; минимум длины пути. Доказано, что время работы алгоритма [10] может быть сокращено за счет применения АД и уменьшения просмотра узлов во внутренних циклах.

Эмпирически показано, что улучшенный алгоритм на разреженных сетях работает быстрее, чем алгоритм в [10], и при увеличении плотности сети на несколько порядков превышает по скорости работы модифицированный алгоритм Флойда.

В целом эксперимент показал высокую вычислительную эффективность предложенного алгоритма, который может быть включен в состав типового инструментария разработчика и с успехом применяться при решении практических задач нахождения двухкритериальных КП на графах и сетях большой размерности.

#### СПИСОК ЛИТЕРАТУРЫ

1. Hansen P. Bicriterion path problems // Multiple Criteria Decision Making Theory and Application (Ed. G. Fandel and T. Gal). — Berlin: Springer, 1979. — P. 109–127.
2. Warburton A. Approximation of Pareto optima in multiple-objective, shortest-path problems // Oper. Res. — 1987. — 35, N 1. — P. 70–79.
3. Ehrgott M., Gandibleux X. Multiple criteria optimization — state of the art annotated bibliographic surveys. — Boston, MA: Kluwer, 2002. — 496 p.
4. Князева Н. А. Использование логических операций для поиска оптимальных путей в сети // II Всесоюз. совещание «Методы и программы решения оптимизационных задач на графах и сетях», 24–26 август 1982 г., Улан-Удэ: Тез. докл. — Новосибирск, 1982. — Ч. 1: Теория, алгоритмы. — С. 85–86.
5. Добролюбов В. В., Педяш В. А. Сетевой алгоритм построения путей с минимальным числом транзитных узлов и с максимальной пропускной способностью // Вычисл. средства в технике и системах связи. — 1979. — № 4. — С. 129–132.
6. Moore E. F. The shortest path through a maze // Proceed. of the Intern. Symp. on the Theory of Switching. — Cambridge Harvard University Press, 1959. — Part II. — P. 285–292.
7. Ахо А., Хопкрофт Дж., Ульман Дж. Построение и анализ вычислительных алгоритмов. — М.: Мир, 1979. — 586 с.
8. Floyd R. W. Algorithm 97: shortest path // Comm. ACM. — 1962. — 5. — P. 345.
9. Dijkstra F. W. A note on two problems in connection with graphs // Numerical mathematic. — 1959. — N 1. — P. 269–271.
10. Васянин В. А., Савенков А. И. Алгоритм построения кратчайших путей на сети по ступенчатому критерию // Дискрет. и эргатич. системы управления: Сб. науч. тр. — Киев, 1983. — С. 40–49.
11. Bellman R. E. On a routing problem // Quart. Appl. Math. — 1958. — 16, N 1. — P. 87–90.
12. Shimbел A. Applications of matrix algebra to communication nets // Bulletin of Mathematical Biophysics. — 1951. — 13. — P. 165–178.

Поступила 30.01.2014